

تعيين الحقل الكهرطيسي لجسيم مشحون متحرك وحساب الطاقة الضائعة بمفعول تشيرينكوف

الدكتور سليمان صالح الخضر*

(ورد إلى المجلة في 1998/12/28، قبل للنشر في 1999/5/30)

□ الملخص □

باستخدام تكامل فورييه (*Fourier's integral*) تم تعيين الحقل الكهرطيسي لجسيم مشحون متحرك بسرعة ثابتة، في وسط مادي عازل متجانس ومتماثل المناحي، سماحية عازليته الكهربية $\epsilon(\omega)$ ، ونفاذيته المغناطيسية $\mu \simeq 1$. وبعد مراعاة شرط نشوء إشعاع تشيرينكوف (*Cherenkov radiation*) في الحقل السابق، حسبت الطاقة الكهرطيسية الضائعة بفعل هذا الإشعاع في الحالة العامة، ومن ثم حسبت الطاقة المذكورة في حالة خاصة، تكون فيها تابعة ϵ للتواتر ω معطاة بشكل صريح. وقد تمت هذه الدراسة في إطار النظرية الجهرية (*Macroscopic theory*).

* أستاذ في قسم الفيزياء - كلية العلوم. جامعة تشرين - اللاذقية - سورية.

Determination of Electromagnetic Field for a Moving Charged Particle and Calculation the Loss Energy Cherenkov Effect.

Dr. S.S. EL-KHADR*

(Received 28/12/1998, Accepted 30/5/1999)

□ ABSTRACT □

Fourier's integral has been used for the determination of the electromagnetic field of a moving charged particle with constant speed in a homogenous, isotropic and dielectric medium. The electromagnetic characteristics of the medium are $\epsilon(\omega)$ and $\mu \cong 1$.

Taken into consideration the emergence of Cherenkov effect in the previous field, the electromagnetic loss energy has been calculated in general, which caused by this effect.

Then, the latter calculation has been effected for a particular case, where ϵ become evident as function of frequency ω .

This study was carried out in view of macroscopic theory.

* Professor at Physics Department, Faculty of Science, Tishreen University, Lattakia, Syria

I- مقدمة:

تحظى مسألة ضياع الطاقة وإشعاع الجسيمات المشحونة المتحركة في الأوساط المادية، باهتمام كبير في فروع مختلفة من الفيزياء الحديثة، كفيزياء الفلك والبلازما [1,2]، وفيزياء المسرعات [3,4]، وغير ذلك.

من المعلوم أن الجسيمات المشحونة المتحركة في الأوساط المادية، تتبادل الأفعال مع الذرات المؤلفة لهذه الأوساط، ويؤدي ذلك إلى استقطاب هذه الأوساط. بتعبير آخر، ينشأ عن حركة الجسيمات المشحونة في الأوساط المادية حقول، تؤثر بدورها في هذه الجسيمات، فتعمل على إعاقتها أو كبحها (Brake)، ومن جهة أخرى قد تشع هذه الأوساط، التي استقطبت من جراء حركة الجسيمات، أمواجاً كهرومغناطيسية عرضانية، ويتحقق هذا الإشعاع عندما تكون حقول الاستقطاب الحاصل متخلفة "متأخرة" (Late) في سرعة انتشارها عن سرعة هذه الجسيمات، ويصدر هذا الإشعاع المسمى إشعاع فافيلوف - تشيرينكوف عن الوسط المادي الذي تتحرك فيه الجسيمات المشحونة، وليس عن الجسيمات المشحونة بالذات، ويتم ذلك عندما تكون سرعة الجسيمات V أكبر من سرعة انتشار الحقل الكهرومغناطيسي في الوسط المادي C/n [5,6].

على الرغم من أن البحوث التي تناولت بالدراسة هذا النوع من الإشعاع كثيرة، ومتنوعة [7,8]، فإننا نرى أن من المفيد معالجة هذه المسألة باستخدام إحدى الطرائق العامة، التي تصح لمعالجة مسائل نظرية الإشعاع. لذلك نعالج هنا مسألة الإشعاع المشار إليه أعلاه بهذه الطريقة، ونستخدم الصيغة العامة التي نحصل عليها في بحث بعض الحالات الخاصة، التي يُعطى فيها الشكل الدقيق لتابعية سماحية العازلية ϵ للتواتر ω ، والتي يمكن أن تصادف في الأوساط البلازمية.

II- تعيين الحقل الكهرومغناطيسي:

يتم تعيين الحقل الكهرومغناطيسي للجسيم المشحون، المتحرك بسرعة ثابتة من معادلات مكسويل (Maxwell's equations):

$$\begin{aligned}\vec{\nabla} \wedge \vec{E} &= -\frac{1}{c} \frac{\partial \vec{B}}{\partial t} \\ \vec{\nabla} \wedge \vec{H} &= -\frac{4\pi}{c} \vec{j} + \frac{1}{c} \frac{\partial \vec{D}}{\partial t} \\ \vec{\nabla} \cdot \vec{D} &= 4\pi\rho \\ \vec{\nabla} \cdot \vec{B} &= 0\end{aligned}\quad (1)$$

علماً أن كثافتى الشحنة ρ والتيار \vec{j} تأخذان في الحالة الراهنة الشكل الآتي:

$$\vec{j} = \vec{V} \rho, \quad \rho = q \delta(\vec{R} - \vec{V} t) \quad (2)$$

بنشر متجهات الحقل وكثافتي الشحنة والتيار في تكامل فورييه:

$$\begin{aligned} \vec{E}(\vec{R}, t) &= \int \vec{E}(\vec{k}, \omega) e^{i(\vec{k} \cdot \vec{R} - \omega t)} d\vec{k} d\omega \\ \vec{j}(\vec{R}, t) &= \int \vec{j}(\vec{k}, \omega) e^{i(\vec{k} \cdot \vec{R} - \omega t)} d\vec{k} d\omega \end{aligned} \quad (3)$$

وهكذا...

عندئذ نحصل من معادلات مكسويل (1) على جملة المعادلات الآتية لسعتي الحقلين: الكهربائي
 $\vec{E}(\vec{k}, \omega)$ ، والمغناطيسي $\vec{H}(\vec{k}, \omega)$:

$$\begin{aligned} \chi \vec{n} \wedge \vec{E}(\vec{k}, \omega) &= \vec{H}(\vec{k}, \omega) \\ \chi \vec{n} \wedge \vec{H}(\vec{k}, \omega) &= -\frac{iq}{2\pi^2 \omega^2} \vec{V} \delta\left(\frac{\chi}{c} \vec{n} \cdot \vec{V} - 1\right) - \varepsilon(\omega) \vec{E}(\vec{k}, \omega) \\ \chi \varepsilon(\omega) \vec{n} \cdot \vec{E}(\vec{k}, \omega) &= -i \frac{qc}{2\pi^2 \omega^2} \delta\left(\frac{\chi}{c} \vec{n} \cdot \vec{V} - 1\right) \\ \chi \vec{n} \cdot \vec{H}(\vec{k}, \omega) &= 0 \end{aligned} \quad (4)$$

علماً أن $\vec{k} = \frac{\omega}{c} \chi \vec{n}$ ، حيث ترمز \vec{n} لمتجهة واحدة، وأن كمية معينة بدلالة ω و \vec{k} ، وأن
سعة فورييه لكثافة التيار $\vec{j}(\vec{k}, \omega)$ تتعين من العلاقتين (3) و (2)، بواسطة تابع دلتا لديراك δ
(Dirac delta function) بالشكل الآتي:

$$\vec{j}(\vec{k}, \omega) = \frac{q}{(2\pi)^3} \vec{V} \delta(\vec{k} \cdot \vec{V} - \omega) = \frac{q}{(2\pi)^3 \omega} \vec{V} \delta\left(\frac{\chi}{c} \vec{n} \cdot \vec{V} - 1\right) \quad (5)$$

تسمح جملة المعادلات (4) بتعيين سعتي فورييه للحقلين: الكهربائي، والمغناطيسي بالشكلين
التاليين:

$$\begin{aligned} \vec{E}(\vec{k}, \omega) &= -i \frac{qc}{2\pi^2 \omega^2} \frac{\chi \vec{n} - \frac{\vec{V} \varepsilon}{c}}{\varepsilon(\chi^2 - \varepsilon)} \delta\left(\frac{\chi}{c} \vec{n} \cdot \vec{V} - 1\right) \\ \vec{H}(\vec{k}, \omega) &= i \frac{q\chi}{2\pi^2 \omega^2} \frac{\vec{n} \wedge \vec{V}}{(\chi^2 - \varepsilon)} \delta\left(\frac{\chi}{c} \vec{n} \cdot \vec{V} - 1\right) \end{aligned} \quad (6)$$

يتطلب تعيين الحقل الكهربائي $\vec{E}(\vec{R}, t)$ و $\vec{H}(\vec{R}, t)$ إجراء تحويل فورييه المعاكس:

فمن المعادلة الأولى، من جملة المعادلتين (6)، نلاحظ أن:

$$E_z(\vec{k}, \omega) = -i \frac{qc}{2\pi^2 \omega^2} \frac{(\chi \cos \theta - \beta \varepsilon)}{\varepsilon(\chi^2 - \varepsilon)} \varepsilon(\beta \chi \cos \theta - 1), (\beta = V/c)$$

عندئذ، باستخدام التحويل (3)، وبإجراء المكاملة بالنسبة للزاويتين القطبيتين Φ و θ ،

اللتين تحددان متجهة الواحدة \vec{n} ، مع الأخذ بعين الاعتبار أن:

$$\int_0^{2\pi} e^{ix \cos \Phi} d\Phi = 2\pi J_0(x) \quad (7)$$

(Bessel's function) $J_0 \times$ تابع بسل

وأن [9]:

$$\int_0^\pi F(\theta) \delta(\beta \chi \cos \theta - 1) \sin \theta d\theta = \frac{1}{\beta \chi} F(\theta) \Big|_{\cos \theta = 1/\beta \chi} \quad (8)$$

نجد القيمة الآتية لمركبة الحقل الكهربائي على المحور Z:

$$E_z(\vec{R}, t) = i \frac{q}{\pi c^2} \int_{-\infty}^{\infty} \omega d\omega e^{i\omega \left(\frac{z-t}{V}\right)} \left(1 - \frac{1}{\beta^2 \varepsilon}\right) \int_{-\infty}^{\infty} \frac{J_0\left(\frac{\omega}{c} r \times\right)}{\left(x^2 + \frac{1}{\beta^2} - \varepsilon\right)} \times d\times \quad (9)$$

$$\times = \sqrt{\chi^2 - \frac{1}{\beta^2}} \quad \text{علماً أن:}$$

لإجراء مكاملة (9) بالنسبة للمتحول الجديد x نلاحظ أن:

$$\int_0^\infty \frac{J_0(xr)}{x^2 + R^2} \times d\times = K_0(Rr) \quad (10)$$

(MacDonald's function) $K_0(kr)$ تابع ماكدونالد

بالتالي تأخذ المركبة (9) الشكل الآتي:

$$E_z(\vec{R}, t) = i \frac{q}{\pi c^2} \int_{-\infty}^{\infty} \left(1 - \frac{1}{\beta^2 \varepsilon}\right) K_0(Sr) e^{i\omega \left(\frac{z-t}{V}\right)} \omega d\omega \quad (11)$$

حيث

$$S^2 = \frac{\omega^2}{V^2} - \frac{\omega^2}{c^2} \varepsilon(\omega), \quad \text{Re}S > 0. \quad (12)$$

علماً أنه يجب اختيار إشارة S بالشكل الذي يكون فيه القسم الحقيقي منها أكبر من الصفر

($\text{Re}S > 0$)، لأن التكامل بالنسبة للمتحول ω في (11)، يتباعد في الحالة المعاكسة.

أما عن إجراء المكاملة بالنسبة للتواتر ω في (11) فهو إجراء غير ممكن، إلا بعد

إعطاء الشكل الصريح لتابعية سماحية العازلية ε للتواتر ω .

بشكل مشابه لما سبق، يمكن تعيين المركبتين $E_x(\vec{R}, t)$ و $E_y(\vec{R}, t)$. فبعد الأخذ بعين

الاعتبار خواص تابع بسل، وملاحظة أن:

$$\int_0^\infty \frac{J_1(xr)}{x^2 + k^2} x^2 d\times = kK_1(kr) \quad (13)$$

إضافة إلى خواص تابع دلتا لديرالك، نجد أن:

$$E_x = \left(\vec{R}, t \right) = \cos \varphi \frac{q}{\pi V} \int_{-\infty}^{\infty} \frac{S}{\varepsilon(\omega)} K_1(Sr) e^{i\omega \left(\frac{z}{V} - t \right)} d\omega \quad (14)$$

$$E_y = \left(\vec{R}, t \right) = \sin \varphi \frac{q}{\pi V} \int_{-\infty}^{\infty} \frac{S}{\varepsilon(\omega)} K_1(Sr) e^{i\omega \left(\frac{z}{V} - t \right)} d\omega$$

علماً أن φ الزاوية التي تصنعها مركبة \vec{R} في المستوى (xy) مع المحور ox. وتأسيساً على ذلك، نجد أن مركبتي الحقل الكهربائي $E_r(\vec{R}, t)$ و $E_\varphi(\vec{R}, t)$ في

الأحداثيات الأسطوانية تأخذان الشكلين التاليين:

$$E_r(\vec{R}, t) = \frac{q}{\pi V} \int_{-\infty}^{\infty} \frac{S}{\varepsilon(\omega)} K_1(Sr) e^{i\omega \left(\frac{z}{V} - t \right)} d\omega \quad (15)$$

$$E_\varphi(\vec{R}, t) = 0$$

تعيين جملة العلاقات (11) و (15) مركبات الحقل الكهربائي للجسيم المشحون المتحرك. أما مركبات الحقل المغناطيسي فنحصل عليها بشكل مشابه. لنعد إلى المعادلة الثانية من جملة المعادلتين (6)، ولنقم بإجراء الحسابات اللازمة، فنجد أن:

$$E_\varphi(\vec{R}, t) = \frac{q}{\pi c} \int_{-\infty}^{\infty} S K_1(Sr) e^{i\omega \left(\frac{z}{V} - t \right)} d\omega \quad (16)$$

$$H_r(\vec{R}, t) = H_z(\vec{R}, t) = 0$$

بالتالي نجد أن الحقل الكهرومغناطيسي للجسيم المشحون المتحرك يعين بجملة الصيغ (11) و (15) و (16).

III - إشعاع فافيلوف - تشيرينكوف:

يجب أن يتحقق في التقريب الموجي (Wave approximation) الشرط $|Sr| \gg 1$,

وفي هذه الحالة يمكن استخدام التقريب الآتي لتابع ماكدونالد، الموجود في الصيغ السابقة:

$$K_n(Sr) \approx \sqrt{\frac{\pi}{2Sr}} e^{-Sr} \quad (17)$$

ينتج من (12) أن S تكون كمية حقيقية إذا كانت $\varepsilon(\omega)$ بدورها كمية حقيقية، وكان الشرط $\frac{1}{\beta^2} \varepsilon(\omega)$ شرطاً محققاً، أو بالتالي الشرط $\beta n(\omega) < 1$ ، علماً أن $n(\omega)$ قريبة الانكسار

(Index of refraction) في حالة الأمواج التي تواترها ω .

أما عندما $\beta n(\omega) > 1$ ، فإن S تكون كمية تخيلية (Imaginary). إذا كانت S كمية

حقيقية فإنها تكون بدورها أكبر من الصفر ($S > 0$) كما يتضح لنا من (12)، وبالتالي يتخامد الحقل الكهرومغناطيسي بشكل نموي كما تبين الصيغة التقريبية (17)، ولا يتم في هذه الحالة إشعاع.

أما عندما تكون S كمية تخيلية، فإن الوضع يكون غير ذلك، ولمعالجة هذا الوضع نلاحظ من (12) أن:

$$S = \pm \frac{\omega}{c} \sqrt{\frac{1}{\beta^2} - \epsilon(\omega)} = \pm i \frac{\omega}{c} n \sqrt{\beta^2 n^2 - 1} \quad (18)$$

ولتعيين الإشارة التي يجب اختيارها في هذه المساواة يمكن افتراض الوسط العازل الذي تتم فيه الحركة، والذي لا يحدث فيه ضياع للطاقة، بمثابة حالة حدية لوسط عازل ضعيف الامتصاص له قرينة انكسار عقدية $n = n_1 + in_2$ ، عندئذٍ للانتقال إلى حالة الوسط العازل المستخدم نفترض أن n_2 كمية صغيرة جداً، وبالتالي يمكن أن نكتب:

$$\sqrt{\beta^2 (n_1 + in_2)^2 - 1} \cong \sqrt{\beta^2 n_1^2 - 1} \left(1 + i \frac{\beta^2 n_1 n_2}{\beta^2 n_1^2 - 1} \right)$$

من ذلك نرى أن الشرط $\text{Re}S > 0$ يتحقق فيما لو اخترنا إشارة الناقص في الصيغة (18). عندئذٍ، بوضع $n_2 \rightarrow 0$ في هذه الصيغة نجد أن:

$$S = -i \frac{\omega}{c} n \sqrt{\beta^2 n^2 - 1} \quad (19)$$

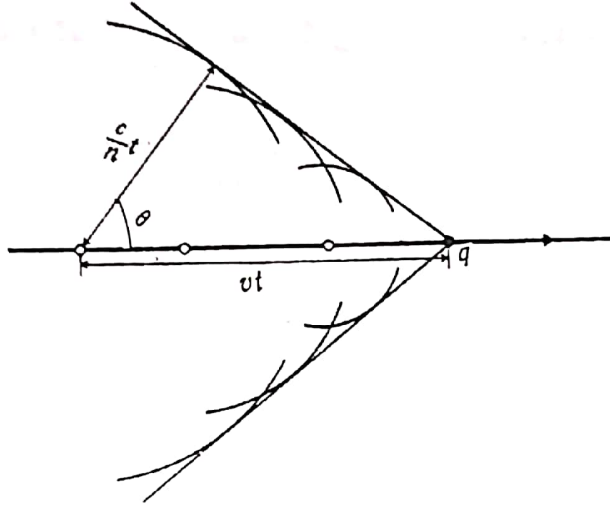
واختيار هذه الإشارة يوافق تحقق أمواج يرافقها حدوث إشعاع.

يتبين من ذلك أن الجسم المشحون، المتحرك في وسط عازل بسرعة ثابتة $V = \beta c$ ، يشع أمواجاً كهرومغناطيسية في الحالة التي يكون فيها $\beta n(\omega) > 1$ ، ويعني هذا الشرط لنشوء الإشعاع، أن سرعة الجسم المشحون يجب أن تكون أكبر من سرعة الطور $\frac{c}{n}$ للموجة المنتشرة، ويصنع هذا الإشعاع مع سرعة الجسم المشحون المتحرك الزاوية θ ، التي تحقق الشرط المشار إليه في (8):

$$\cos \theta = \frac{1}{\beta n(\omega)} ; (\chi = n(\omega)) \quad (20)$$

وينتج هذا الاتجاه النوعي للإشعاع من ترابط (Coherence) الأمواج، التي بسببها الجسم المشحون في النقاط المختلفة من مساره.

يمكن توضيح الشرط السابق (20)، الذي يعين اتجاه الإشعاع (إشعاع فافيلوف-تشييرينكوف) بتتبع تداخل الأمواج المنفصلة، التي يسببها الجسم في النقاط المختلفة من مساره، حيث تعتبر كل نقطة من نقاط مسار الجسم المشحون بمثابة منبع للاضطراب العنصري، الذي ينتشر منها على شكل موجة كروية بسرعة تساوي $\frac{c}{n}$. عندئذٍ يكون صدر الموجة المحصلة عبارة عن مغلف الأمواج الكروية الأولية، وبشكل الناظم على صدر الموجة مع مسار الجسم المشحون، الزاوية θ ، التي تحقق المساواة (20)، كما في الشكل التالي:



شكل صدر الموجة المحصلة

يتعين استقطاب هذا النوع من الإشعاع بسهولة بالعودة إلى جملة المعادلتين (6).
فالمتجهة \vec{H} عمودية على المستوى المتشكل من مسار الجسيم والمتجهة الموجية \vec{k} . أما
المتجهة \vec{E} فتقع في المستوى المذكور (تكون عمودية على المتجهة \vec{k} في التقريب الموجي)،
وبالإمكان التأكد من هذا التعامد الأخير بحساب الجداء السلمي $\vec{k} \cdot \vec{E}$ في المعادلة الأولى، من
جملة المعادلتين (6).

لحساب الطاقة الكلية لإشعاع فافيلوف-تشييرينكوف (الإشعاع العرضاني) على واحدة
طول المسار، نحسب التكامل بالنسبة للزمن لتدفق متجهة بوينتغ (Poynting vector)، خلال
واحدة الطول من سطح أسطوانتي محيط بالجسيم المشحون، ويقع على بعد كبير نسبياً عنه:

$$\frac{dW_{\perp}}{dL} = 2\pi r \int_{-\infty}^{\infty} \frac{c}{4\pi} \left(\vec{E} \wedge \vec{H} \right)_r dt = -\frac{cr}{2} \int_{-\infty}^{\infty} E_z H_{\phi} dt \quad (21)$$

وباستخدام تعميم علاقة بارسيفال (Parseval's formula) كما هو مبين في [10]:

$$\int_{-\infty}^{\infty} A(t) \cdot B(t) dt = 2\pi \int_{-\infty}^{\infty} (A_{\omega} \cdot B_{\omega}^* + A_{\omega}^* \cdot B_{\omega}) d\omega$$

نجد أن الطاقة (21) تعين بالشكل الآتي:

$$\frac{dW_{\perp}}{dt} = -2\pi cr \int_{\beta n(\omega) > 1} E_{\omega z} H_{\omega \phi}^* \omega \varphi \cdot d\omega \quad (22)$$

علماً أن المركبتين $E_{\omega z}$ و $H_{\omega \phi}^*$ يجب أن تحسب في التقريب الموجي، أما مجال المكاملة فيتم في

مجال التواترات التي يتحقق فيها هذا الإشعاع $\beta n(\omega) > 1$.

يتضح من (11) و(16) أن $H_{\omega \phi}$ و $E_{\omega z}$ تأخذان الشكلين التاليين:

$$E_{\omega z}(\vec{R}, t) = i \frac{q\omega}{\pi c^2} \left(1 - \frac{1}{\beta^2 \epsilon}\right) K_0(Sr) e^{i\omega\left(\frac{z}{V} - t\right)} \omega d\omega \quad (23)$$

$$H_{\omega\varphi}(\vec{R}, t) = \frac{q}{\pi c} SK_1(Sr) e^{i\omega\left(\frac{z}{V} - t\right)}$$

وبالتالي بأخذ الصيغة التقريبية (17) بعين الاعتبار في (23) نجد أن التكامل (22) يؤول إلى الشكل الآتي:

$$\frac{dW_{\perp}}{dL} = \frac{q^2}{c^2} \int_{\beta n(\omega) > 1} \left(1 - \frac{1}{\beta^2 n^2(\omega)}\right) \omega d\omega \quad (24)$$

IV - خاتمة:

1. إن الطريقة المستخدمة في تعيين الحقل الكهروطيسي هنا هي طريقة عامة، يمكن استخدامها لحساب الطاقة الضائعة بفعل إشعاع الكبح أو الإعاقة (Bremmsstrahlung) - الإشعاع الطولاني، إضافة إلى حساب طاقة إشعاع تشيرينكوف.
2. لا يظهر إشعاع فافيلوف-تشيرينكوف في البلازما البسيطة، التي تعين سماحية عازليتها بالشكل:

$$\epsilon(\omega) = 1 - \frac{\omega_p^2}{\omega^2} \quad (25)$$

لأن $\beta n(\omega) < 1$ ، علماً أن ω_p التواتر البلازمي (Plasma frequency).

3. يتحقق مفعول فافيلوف-تشيرينكوف في الوسط المادي، الذي تكون سماحية عازليته من الشكل:

$$\epsilon(\omega) = 1 + \frac{\omega_p^2}{\omega(\omega_0 - \omega)} \quad (26)$$

- عندما يكون $\omega < \omega_0$ ؛ لأن الشرط $\beta n(\omega) > 1$ يمكن أن يتحقق في هذه الحالة، علماً أن ω_0 تواتر ثابت. وبالإمكان حساب الطاقة الضائعة بفعل هذا المفعول عندئذ.
- لنضع الصيغة (26) في (24)، ولنستخدم المتحول الجديد $x = \omega / \omega_0$ ، علماً أن $0 \leq x \leq 1$ فنجد:

$$\begin{aligned} \frac{dW_{\perp}}{dL} &= \frac{q^2 \omega_0^2}{V^2} \int_0^1 \left(\beta^2 + \frac{x - x^2}{x^2 - x - \alpha} \right) x dx = \\ &= \frac{q^2 \omega_0^2}{2V^2} \left[(\beta^2 - 1) - \frac{2\alpha^2}{\sqrt{4\alpha x^2 + 1}} \operatorname{Ln} \left(\frac{\sqrt{4\alpha^2 + 1} - 1}{4\alpha^2 + 1 + 1} \right) \right] \end{aligned} \quad (27)$$

4. على الرغم من عدم تحقق إشعاع تشيرينكوف، في البلازما التي تعين سماحية عازليتها بالشكل (25)، فإن الوضع يكون غير ذلك، عندما يؤثر فيها حقل مغناطيسي خارجي ملائم،

حيث تغدو البلازما وسطاً غير متماثل المناعي (Anisotropic medium). فإذا تم إهمال قوى الاحتكاك، فإنه في الوقت الذي تبقى فيه مركبة سماحية العازلية وفق الحقل المغناطيسي المطبق (المركبة الطولية ϵ_{11}) من الشكل (25)، فإن المركبتين العرضائيتين لسماحية العازلية ϵ_{\pm} تأخذان الشكلين التقريبيين الآتيين:

$$\epsilon_{\pm}(\omega) \approx 1 - \frac{\omega_p^2}{\omega \left(\omega \pm \Omega_e - \frac{\Omega_e \Omega_i}{\omega} \right)} \quad (28)$$

علماً أن $\Omega_e = \frac{qH_0}{mc}$ و $\Omega_i = \frac{qH_0}{Mc}$ وترمز لنواتر لاغومور (Larmor frequency) لكل من الإلكترون، والايون الموجب على الترتيب. أما H_0 فترمز لشدة الحقل المغناطيسي الثابت المؤثر في البلازما، أو الغاز المتأين (Ionized gas). يتبين من (28) وجود المجالين الآتيين للنواترات، اللذين يمكن أن يتحقق فيهما شرط نشوء مفعول تشيرينكوف $|\beta n| > 1$:

أ- مجال التواترات $[\Omega_e > \omega \gg \Omega_i]$ ، [11] وتؤول $\epsilon_{\pm}(\omega)$ في هذا المجال إلى شكل مشابه للشكل المعين في (26)، وتكون قرينة انكسار الوسط كبيرة من أجل هذه الأمواج، لذلك يكون عامل انعكاسها كبيراً.

ب- مجال التواترات المنخفضة، التي توافق:

$$\epsilon_{\pm} \rightarrow 1 + \frac{\omega_p^2}{\Omega_e \Omega_i}$$

وتسمح هذه الحالة الأخيرة بتحقق الأمواج ذات التواترات الصغيرة جداً في البلازما، والتي تسمى عادة أمواج ألفين (Alvén's waves).

REFERENCES المراجع

- [1] GINZBERG, V.L., 1987, *Theoretical Physics and Astrophysics* "Nauka" Moscow (In Russian).
- [2] CLEMMOW, P.C. & DOUGHERTY, J.P. 1990. *Electrodynamics of Particles and Plasma*. Addison wesley comp. Inc.
- [3] KOLOMENSKIY, A.A., & LEBEDEV, A.N., 1962 *Theory of Cyclic Particle Accelerators*. Moscow. (In Russian).
- [4] LIVINGOOD J.J., 1961. *Principles of cyclic particle accelerators*. D. van Nostrand Comp. Inc. Princeton, New Jersey – Toronto – New York – London.
- [5] TAMM, IG., 1975 *Sobranni nauchnih trodov, tom. I, "collection of the scientific works"* Nauka" Moscow (In Russian).
- [6] BOLATOVSKIY, B.N., 1961. *zh. uspekhi fiz. nauk, "J. progress in physical science"*. 75.p.295. Moscow (In Russian).
- [7] JELLY J.V., 1958, *Cherenkov radiation and its applications*. pergamon press.
- [8] ZRILOV, D.D., 1968. *Vovelov-cherenkov radiation and its applications*. Moscow (In Russian).
- [9] IVANENKO, D.D., & COKOLOV, A.A., 1951, *classical theory of fields Gosotomizdat*, Moscow (In Russian).
- [10] PANOFSKY, W.K.H., & PHILIPS, M., 1962. *Classical electricity and magnetism*. Addison-wesley, Reading, Mass.
- [11] KRALL, N. A., & TRIVELPIECE, A W. 1973, *Principles of Plasma Physics*. McGraw-Hill Book Company, New York.